

РЕШЕНИЕ ЗАДАЧИ О СЖАТИИ ВЯЗКОУПРУГОГО ЦИЛИНДРА МЕТОДОМ РИТЦА

У статті розглянуто розрахунок масивного гумового віброізолятора на стиск методом Ритца.

SOLUTION OF A PROBLEM ON SQUEEZING OF THE VISCOELASTIC BARREL BY A METHOD OF RITZ

The calculation of massive rubber vibroinsulator in the case of compression by Ritz method is considered in the paper.

Ниже рассматривается расчет резиновых виброизоляторов, предназначенных в качестве элементов вибро-сейсмозащиты тяжелых машин и сооружений. Виброизоляторы такого типа отличаются большими геометрическими размерами (например, диаметр сейсмоблока для жилых зданий 400 мм, высота – 70-120 мм) и большими деформациями. Здесь уместно отметить, что для массивных резино-технических изделий при деформациях сжатия и сдвига в инженерной практике малыми деформациями считаются $\varepsilon_m < 0,1$ и большими – $\varepsilon_m \geq 0,1$ (соответственно для сдвига $\gamma_m = 0,1 \div 0,15$ и $\gamma_m = 0,2 \div 0,25$).

Целью настоящей статьи является расчет сплошного резинового цилиндра при сжатии при малых и больших деформациях с учетом особенностей на торцах, учитываемых коэффициентом ужесточения β . Нелинейность при больших деформациях учитывается оригинальным упругим потенциалом, полученным при экспериментальных исследованиях натуральных вибро-сейсмоблоков.

Задача определения осадки резиновых элементов, работающих на сжатие, решалась в разное время такими авторами, как Э.Э. Лавендел [1], С.И. Дымников [2], В.Л. Бидерман, Н.А. Сухова [3, 4] и др. Авторами статьи проведен расчет для массивных резиновых сейсмоизоляторов (рис. 1) при малых и больших деформациях.

Рассмотрим задачу о сжатии цилиндрического резинового элемента сначала в малых деформациях. При учете больших деформаций процесс решения несколько отличается и будет рассмотрен ниже.

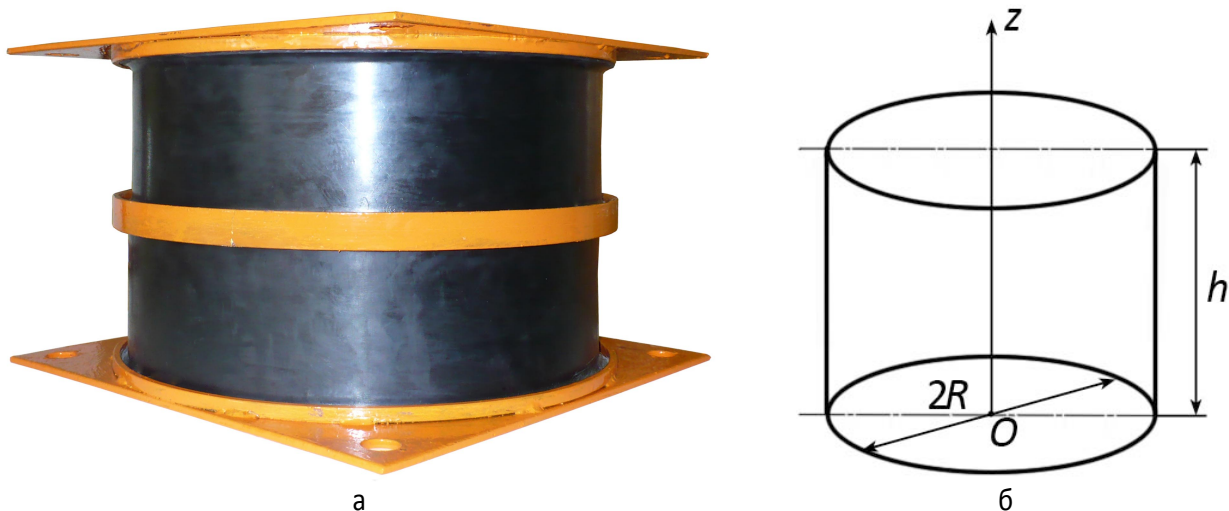


Рис. 1 – Общий вид (а) и расчетная схема (б) амортизатора

Расчет при малых деформациях. Используя метод Ритца, предположим, что осевые перемещения не зависят от радиуса и являются только функцией координаты z :

$$u_z = f(z). \quad (1)$$

Запишем соотношения Коши для осесимметричной задачи:

$$\varepsilon_z = \frac{\partial u_z}{\partial z}; \quad \varepsilon_r = \frac{\partial u_r}{\partial r}; \quad \varepsilon_\theta = \frac{u_r}{r}; \quad \varepsilon_{zr} = \frac{\partial u_r}{\partial z} + \frac{\partial u_z}{\partial r}, \quad (2)$$

где $\varepsilon_z, \varepsilon_r, \varepsilon_\theta$ – относительные линейные деформации в осевом, радиальном и окружном направлениях;

ε_{zr} – сдвиговая деформация;

u_r – радиальное перемещение.

Условие несжимаемости при малых деформациях имеет вид:

$$\varepsilon_z + \varepsilon_r + \varepsilon_\theta = 0 \quad (3)$$

или, с учетом (1) и (2)

$$\frac{\partial u_r}{\partial r} + \frac{u_r}{r} = -f'(z).$$

Это дифференциальное уравнение может быть переписано в виде

$$\frac{1}{r} \frac{\partial}{\partial r} (ru_r) = -f'(z).$$

Интегрируя его с учетом граничного условия $u_r = 0$ при $r = 0$, получаем

$$u_r = -\frac{1}{2} f'(z) r. \quad (4)$$

Подставляя полученное соотношение в (2), приходим к выражениям для деформаций:

$$\varepsilon_z = f'(z); \quad \varepsilon_r = \varepsilon_\theta = -\frac{1}{2} f'(z); \quad \varepsilon_{zr} = -\frac{1}{2} f''(z) r. \quad (5)$$

Удельная потенциальная энергия деформации в данном случае равна

$$W = G \left(\varepsilon_z^2 + \varepsilon_r^2 + \varepsilon_\theta^2 + \frac{1}{2} \varepsilon_{zr}^2 \right).$$

С учетом представлений (5), ее можно привести к виду

$$W = G \left[\frac{3}{2} f'^2(z) + \frac{1}{8} f''^2(z) r^2 \right]. \quad (6)$$

Потенциальная энергия всего резинового элемента выражается интегралом:

$$\Pi = 2\pi \int_0^R \int_0^h W r dr dz.$$

Проинтегрировав по r с учетом выражения (6), получаем:

$$\Pi = \pi R^2 G \int_0^h \left[\frac{3}{2} f'^2(z) + \frac{1}{16} f''^2(z) R^2 \right] dz.$$

Полная энергия системы может быть представлена в виде:

$$U \neq P \Delta,$$

где P – сжимающая нагрузка;

$P\Delta$ – ее потенциал;

$$\Delta = -\int_0^h f'(z) dz \text{ – осадка резинового элемента.}$$

Полная энергия для данной задачи равна

$$U = \int_0^h \Phi(f', f'', z) dz, \quad (7)$$

где $\Phi(f', f'', z) = \pi R^2 G \left[\frac{3}{2} f'^2(z) + \frac{1}{16} f''^2(z) R^2 \right] + P f'(z)$.

Условие минимума полной энергии системы, определяемой интегралом (7) имеет вид:

$$\frac{\partial \Phi}{\partial f'} - \frac{d}{dz} \frac{\partial \Phi}{\partial f''} = 0,$$

откуда для определения $f'(z)$ получаем дифференциальное уравнение

$$f'''(z) - \frac{24}{R^2} f'(z) = \frac{24}{R^2} \frac{P}{3\pi R^2 G}.$$

Это линейное дифференциальное уравнение с постоянными коэффициентами. Его решение выглядит так:

$$f'(z) = -\frac{P}{3\pi R^2 G} + A_1 \operatorname{ch} \frac{2\sqrt{6}z}{R} + A_2 \operatorname{sh} \frac{2\sqrt{6}z}{R},$$

где A_1 и A_2 – постоянные интегрирования.

Постоянные интегрирования определяются из следующих граничных условий:

1) при $z=0$ $\frac{\partial P}{\partial z} = 0$;

2) при $z = \frac{h}{2}$ $u_r = 0$.

Тогда граничные условия для функции $f'(z)$ имеют вид:

при $z=0$ $f''(z) = 0$;

при $z = \frac{h}{2}$ $f'(z) = 0$.

Отсюда находим

$$A_2 = 0; \quad A_1 = \frac{P}{3\pi R^2 G} \cdot \frac{1}{\operatorname{ch} \frac{h\sqrt{6}}{R}}.$$

Таким образом,

$$f'(z) = -\frac{P}{3\pi R^2 G} \left[1 - \frac{\operatorname{ch} \frac{2\sqrt{6}z}{R}}{\operatorname{ch} \frac{h\sqrt{6}}{R}} \right].$$

Осадка резинового элемента равна

$$\Delta = -\int_{-\frac{h}{2}}^{\frac{h}{2}} f'(z) dz = \frac{Ph}{3\pi R^2 G} \left[1 - \frac{R}{h\sqrt{6}} \operatorname{th} \frac{h\sqrt{6}}{R} \right].$$

Как известно, при одноосном сжатии в случае малых деформаций зависимость между нагрузкой и осадкой выглядит так:

$$P_0 = E\pi R^2 \frac{\Delta}{h}$$

или

$$P_0 = 3G\pi R^2 \frac{\Delta}{h},$$

с учетом того, что для резины $E = 3G$.

Если осадка резинового элемента со свободными торцами равна осадке резинового элемента с привулканизованными к торцам металлическими пластинами, то

$$P = \beta P_0, \quad (8)$$

где

$$\beta = 1 + 0,413\rho^2 \text{ – по Пейну;}$$

$$\beta = 0,92 + 0,5\rho^2 \text{ – по Лавенделлу;}$$

β – коэффициент увеличения жесткости за счет закрепления торцов.

Авторами данной статьи предложено вычислять β по формуле:

$$\beta = 1 + 1,03\rho^2. \quad (9)$$

Формула (9) получена на основании математической обработки экспериментальных данных для массивных цилиндрических сплошных амортизаторов.

Расчет при больших деформациях. Приведем сначала расчет, проведенный Бидерманом и Суховой [3]. Используя статистическую теорию высокоэластичности, выражение для удельной потенциальной энергии деформации запишем в виде

$$W = GJ_1, \quad (10)$$

где J_1 – первый инвариант тензора конечной деформации, равный

$$J_1 = \varepsilon_z + \varepsilon_r + \varepsilon_\theta.$$

Известно [2], что в этом случае

$$P_0 = GF \left(\frac{1}{\lambda^2} - \lambda \right),$$

где $\lambda = \frac{h - \Delta}{h}$ – степень сжатия.

Итак, для определения жесткости резинового элемента следует использовать соотношение

$$P = \beta P_0 = \beta GF \left(\frac{1}{\lambda^2} - \lambda \right), \quad (11)$$

где β находится по формуле (9).

Как и выше, примем, что сечения остаются плоскими и осевые перемещения являются функциями только координаты z . Радиальные перемещения представим в виде

$$u_r = rf(z). \quad (12)$$

Соотношения Коши для случая конечных деформаций записываются так:

$$\varepsilon_z = \frac{\partial u_z}{\partial z} + \frac{1}{2} \left[\left(\frac{\partial u_z}{\partial z} \right)^2 + \left(\frac{\partial u_r}{\partial z} \right)^2 \right]; \quad \varepsilon_r = \frac{\partial u_r}{\partial r} + \frac{1}{2} \left(\frac{\partial u_r}{\partial r} \right)^2;$$

$$\varepsilon_\theta = \frac{u_r}{r} + \frac{1}{2} \left(\frac{u_r}{r} \right)^2; \quad \varepsilon_{zr} = \frac{\partial u_r}{\partial z} \left(1 + \frac{\partial u_r}{\partial r} \right)$$

или, после преобразований,

$$\varepsilon_z = \frac{1}{2} \left[\left(1 + \frac{\partial u_z}{\partial z} \right)^2 - 1 \right] + \frac{1}{2} \left(\frac{\partial u_r}{\partial z} \right)^2; \quad \varepsilon_r = \frac{1}{2} \left[\left(1 + \frac{\partial u_r}{\partial r} \right)^2 - 1 \right];$$

$$\varepsilon_\theta = \frac{1}{2} \left[\left(1 + \frac{u_r}{r} \right)^2 - 1 \right]; \quad \varepsilon_{zr} = \frac{\partial u_r}{\partial z} \left(1 + \frac{\partial u_r}{\partial r} \right).$$

Подставляя в последние соотношения выражение (12), имеем

$$\varepsilon_z = \frac{1}{2} \left[\left(1 + \frac{\partial u_z}{\partial z} \right)^2 - 1 \right] + \frac{1}{2} [rf'(z)]^2; \quad \varepsilon_r = \varepsilon_\theta = \frac{1}{2} \{ [1 + f(z)]^2 - 1 \}; \quad (13)$$

$$\varepsilon_{zr} = rf'(z)[1 + f(z)].$$

Условие несжимаемости для конечных деформаций

$$(1 + 2\varepsilon_z)(1 + 2\varepsilon_r)(1 + 2\varepsilon_\theta) - \varepsilon_{zr}^2(1 + 2\varepsilon_\theta) = 1$$

после подстановки (12) принимает вид:

$$(1 + f)^2 (1 + f)^2 \left[\left(1 + \frac{\partial u_z}{\partial z} \right)^2 + (rf')^2 \right] - r^2 f'^2 (1 + f)^2 (1 + f)^2 = 1,$$

или, после упрощения,

$$(1 + f)^2 \left(1 + \frac{\partial u_z}{\partial z} \right) = 1,$$

откуда получаем

$$\frac{\partial u_z}{\partial z} = \frac{1}{(1 + f)^2} - 1. \quad (14)$$

Потенциальная энергия деформации резинового элемента равна

$$\Pi = 2\pi \int_h^r W r dr dz, \quad (15)$$

где W – удельная потенциальная энергия деформации, которую вычисляют по формуле (10).

Подставляя в (10) выражения для компонент деформации, с учетом (14) получаем:

$$W = G \left\{ (1 + f)^2 - 1 + \frac{1}{2} \left[\frac{1}{(1 + f)^4} - 1 \right] + \frac{1}{2} (rf')^2 \right\}. \quad (16)$$

где введено обозначение

$$\psi = 1 + f.$$

Формула для энергии деформации всего резинового элемента (15) после подстановки выражения (16) может быть приведена к виду

$$\Pi = \pi R^2 G \int_h^R \left(\psi^2 + \frac{1}{2\psi^4} - \frac{3}{2} + \frac{1}{4} \psi'^2 R^2 \right) dz, \quad (17)$$

Потенциал внешней сжимающей силы равен

$$V = -P\Delta = P \int_0^h \frac{\partial u_z}{\partial z} dz$$

или, с учетом (14),

$$V = P \int_0^h \left(\frac{1}{\psi^2} - 1 \right) dz.$$

Для полной энергии системы имеем выражение вида

$$U = \Pi + V = \int_h \Phi(\psi; \psi'; z) dz, \quad (18)$$

где

$$\Phi(\psi; \psi'; z) = \pi R^2 G \left(\psi^2 + \frac{1}{2\psi^4} - \frac{3}{2} + \frac{1}{4} \psi'^2 R^2 \right) + P \left(\frac{1}{\psi^2} - 1 \right).$$

Условие минимума полной энергии системы (18) запишется в виде

$$\frac{\partial \Phi}{\partial \psi} - \frac{d}{dz} \left(\frac{\partial \Phi}{\partial \psi'} \right) = 0.$$

После несложных преобразований приходим к дифференциальному уравнению второго порядка

$$\pi R^2 G \left[2\psi - \frac{2}{\psi^5} - \frac{R^2}{2} \psi'' \right] - 2P \frac{1}{\psi^3} = 0.$$

Его несложно преобразовать к виду

$$\frac{R^2}{2} \cdot \frac{d}{d\psi} \left(\frac{d\psi}{dz} \right) \frac{d\psi}{dz} = 2\psi - \frac{2}{\psi^5} - \frac{2P}{\pi R^2 G} \cdot \frac{1}{\psi^3},$$

откуда получаем

$$\frac{R^2}{4} \left(\frac{d\psi}{dz} \right)^2 = \psi^2 + \frac{1}{2\psi^4} + \frac{P}{\pi R^2 G} \cdot \frac{1}{\psi^2} + C,$$

Проинтегрировав второй раз, имеем

$$z = \frac{R}{2} \int \frac{d\psi}{\sqrt{\psi^2 + \frac{1}{2\psi^4} + \frac{P}{\pi R^2 G} \cdot \frac{1}{\psi^2} + C}}. \quad (19)$$

Итак, задача определения функции ψ сведена к квадратуре. Для определения зависимости перемещения от нагрузки при заданном отношении $\frac{P}{\pi R^2 G}$ проводится численное интегрирование выражения (19) до величины $z = h/2$. Таким образом, найдено значение $\psi|_{z=h/2} = \psi_{\max}$. Далее, на основании (14), величина осадки резинового элемента определяется по формуле

$$\Delta = R \int_1^{\psi_{\max}} \frac{\left(\frac{1}{\psi^2} - 1 \right) d\psi}{\sqrt{\psi^2 + \frac{1}{2\psi^4} + \frac{P}{\pi R^2 G} \cdot \frac{1}{\psi^2} + C}}. \quad (20)$$

Для расчета низких амортизаторов ($h/R \leq 4$) можно использовать более простой метод расчета. В этом случае $(rf')^2 \gg f^2$ и основным в формуле (17) будет последнее слагаемое, соответствующее энергии сдвига. Поэтому можно принять

$$P = \frac{1}{4} \pi R^4 G \int_h \psi'^2 dz.$$

Тогда для полной энергии системы имеем выражение

$$U = \int_h \Phi(\psi; \psi'; z) dz,$$

где

$$\Phi(\psi; \psi'; z) = \frac{1}{4} \pi R^4 G \psi'^2 + P \left[\frac{1}{\psi^2} - 1 \right].$$

Записывая условие минимума полной энергии системы и интегрируя, получаем

$$z = \frac{R}{2} \int \frac{d\psi}{\sqrt{\frac{P}{\pi R^2 G} \cdot \frac{1}{\psi^2} + C_1}},$$

где C_1 – постоянная интегрирования.

Проинтегрировав это выражение, приходим к следующей зависимости

$$z = \frac{R}{2\sqrt{C_1}} \sqrt{\psi^2 + \frac{\chi}{C_1}} + C_2,$$

где $\chi = \frac{P}{\pi R^2 G}$;

C_2 – постоянная интегрирования.

Отсюда можем получить

$$\psi = \sqrt{\frac{4C_1}{R^2} (z - C_2)^2 - \frac{\chi}{C_1}}. \quad (21)$$

Постоянные интегрирования найдем из следующих граничных условий (начало координат располагаем в среднем сечении амортизатора):

- при $z = 0$ $d\psi/dz = 0$ (с учетом симметрии радиальных перемещений относительно среднего сечения);
- при $z = h/2$ $\psi = 1$ (к торцам амортизатора привулканизованы металлические пластины, поэтому радиальные перемещения отсутствуют).

Тогда постоянные интегрирования равны

$$C_2 = 0; \quad C_1 = \frac{R^2}{2h^2} - \sqrt{\frac{R^4}{2h^4} + \chi \frac{R^2}{h^2}}.$$

Для функции ψ получаем следующее выражение

$$\psi = \sqrt{\frac{1}{2} \left(\sqrt{1 + \chi \frac{4h^2}{R^2} + 1} \right) - 2 \frac{z^2}{h^2} \left(\sqrt{1 + \chi \frac{4h^2}{R^2} - 1} \right)}. \quad (22)$$

Найдем зависимость между нагрузкой и осадкой амортизатора. Для этого проинтегрируем выражение (14) по координате z

$$\Delta = h - 2 \int_0^{\frac{h}{2}} \frac{dz}{\psi^2}.$$

В результате получим следующее

$$\Delta = h - \frac{R}{2\sqrt{\chi}} \ln \frac{\frac{1}{2} \left(\sqrt{1 + \chi \frac{4h^2}{R^2} + 1} \right) + \frac{h}{R} \sqrt{\chi}}{\frac{1}{2} \left(\sqrt{1 + \chi \frac{4h^2}{R^2} + 1} \right) - \frac{h}{R} \sqrt{\chi}}. \quad (23)$$

Обозначим

$$\chi \frac{h^2}{R^2} = \varphi \left(\frac{\Delta}{h} \right),$$

тогда

$$P = \varphi \left(\frac{\Delta}{h} \right) G F \frac{R^2}{h^2}, \quad (24)$$

где $F = \pi R^2$ – площадь поперечного сечения амортизатора до деформации.
Из формулы (23) можно найти зависимость $\varphi(\Delta/h)$, показанную на рис. 2.

Тогда для расчета как низких, так и высоких амортизаторов может быть использована формула, полученная при помощи суммирования нагрузки, затрачиваемой на деформацию сдвига, и нагрузки для деформации сжатия:

$$P = GF \left[\frac{1}{\lambda^2} - \lambda + \frac{R^2}{h^2} \varphi \left(\frac{\Delta}{h} \right) \right], \quad (25)$$

где $\lambda = 1 - \frac{\Delta}{h}$.

Авторы данной статьи предлагают использовать для удельной потенциальной энергии деформации (упругого потенциала) следующее выражение:

$$W = C_1 J_1 + C_2 J_1^2 + F(J_2), \quad (26)$$

где J_1, J_2 – первый и второй инварианты тензора конечной деформации, в нашем случае равные

$$J_1 = \varepsilon_r + \varepsilon_\theta + \varepsilon_z; \quad (27)$$

$$J_2 = \varepsilon_r \varepsilon_\theta + \varepsilon_r \varepsilon_z + \varepsilon_\theta \varepsilon_z - \varepsilon_{rz}^2,$$

C_1, C_2 – константы материала;

$F(J_2)$ – функция, принимающая различный вид для разных материалов.

Примем, что функция $F(J_2)$ линейна, т.е.

$$F(J_2) = C_3 J_2, \quad (28)$$

где C_3 – постоянная материала.

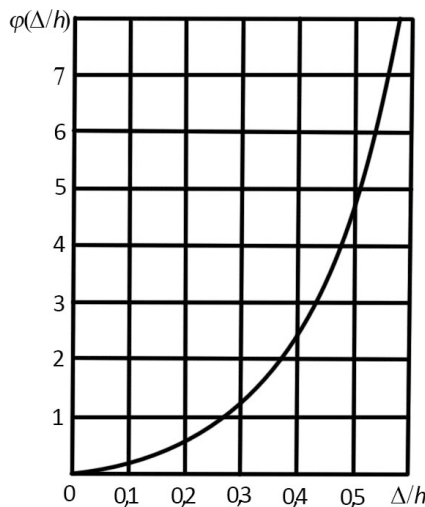


Рис. 2 – Характеристика для низких амортизаторов

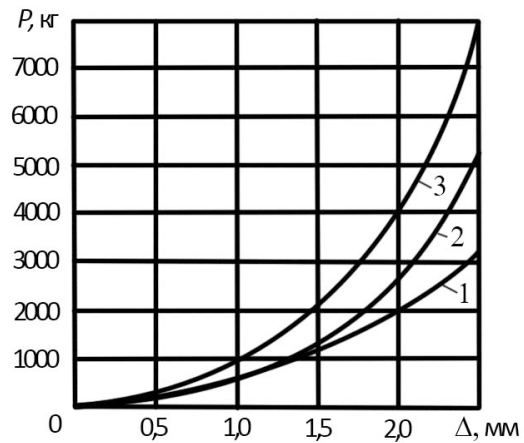


Рис. 3 – Расчетные и экспериментальная характеристики амортизатора

Продельвая аналогичные преобразования, в этом случае имеем

$$\begin{aligned} W = & \psi^2 \left(C_1 - 3C_2 - \frac{3}{4}C_3 \right) - \frac{3}{2}C_1 + \frac{9}{4}C_2 + \frac{1}{2}C_3 + \frac{1}{\psi^4} \left(\frac{1}{2}C_1 - \frac{3}{2}C_2 - \frac{1}{4}C_3 \right) + \frac{1}{4}C_2 \frac{1}{\psi^8} + \\ & + \psi^4 \left(C_2 + \frac{1}{4}C_3 \right) + \frac{1}{\psi^2} \left(C_2 + \frac{1}{4}C_3 \right) + r^2 \psi'^2 \left(\frac{1}{2}C_1 - \frac{3}{2}C_2 - \frac{1}{4}C_3 \right) + \frac{1}{4}C_2 r^4 \psi'^4 + \\ & + r^2 \psi^2 \psi'^2 \left(C_2 + \frac{1}{4}C_3 \right) + \frac{1}{2}C_2 r^2 \frac{\psi'^2}{\psi^4}, \end{aligned} \quad (29)$$

$$\begin{aligned} \Phi(\psi; \psi'; z) = \pi R^2 \left\{ \psi \left(C_1 - 3C_2 - \frac{3}{4}C_3 \right) - \frac{3}{2}C_1 + \frac{9}{4}C_2 + \frac{1}{2}C_3 + \frac{1}{\psi^4} \left(\frac{1}{2}C_1 - \frac{3}{2}C_2 - \frac{1}{4}C_3 \right) + \right. \\ \left. + \psi^4 \left(C_2 + \frac{1}{4}C_3 \right) + \frac{1}{4}C_2 \frac{1}{\psi^8} \right\} + \frac{\pi R^4}{2} \left\{ \psi'^2 \left(\frac{1}{2}C_1 - \frac{3}{2}C_2 - \frac{1}{4}C_3 \right) + \psi^2 \psi'^2 \left(C_2 + \frac{1}{4}C_3 \right) + \right. \\ \left. + \frac{1}{2}C_2 \frac{\psi'^2}{\psi^4} \right\} + \frac{\pi R^6}{12} C_2 \psi'^4 + P \left(\frac{1}{\psi^2} - 1 \right). \end{aligned} \quad (30)$$

В итоге получаем такое дифференциальное уравнение:

$$\begin{aligned} \psi'' = \frac{\frac{4}{R^2} \left\{ \psi \left(C_1 - 3C_2 - \frac{3}{4}C_3 \right) - \frac{1}{\psi^5} \left(C_1 - 3C_2 - \frac{1}{2}C_3 \right) + 2\psi^3 \left(C_2 + \frac{1}{4}C_3 \right) - C_2 \frac{1}{\psi^9} \right\}}{C_1 - 3C_2 - \frac{1}{2}C_3 + 2\psi^2 \left(C_2 + \frac{1}{4}C_3 \right) + C_2 \frac{1}{\psi^4} + 2R^2 C_2 \psi'^2} - \\ - \frac{2\psi'^2 \left\{ \psi \left(C_2 + \frac{1}{4}C_3 \right) - C_2 \frac{1}{\psi^5} \right\} + \frac{4P}{\pi R^4 \psi^3}}{C_1 - 3C_2 - \frac{1}{2}C_3 + 2\psi^2 \left(C_2 + \frac{1}{4}C_3 \right) + C_2 \frac{1}{\psi^4} + 2R^2 C_2 \psi'^2}. \end{aligned} \quad (31)$$

Итак, приходим к задаче Коши для уравнения (31) с начальными условиями:

$$\text{при } z=0 \quad \psi = 1, \psi' = 1. \quad (32)$$

Приведем уравнение (31) к безразмерному виду. Для этого введем новую переменную $\bar{z} = z/h$. Тогда

$$\begin{aligned} \psi' = \frac{d\psi}{dz} = \frac{1}{h} \frac{d\psi}{d\bar{z}} = \bar{\psi}'; \\ \psi'' = \frac{d^2\psi}{dz^2} = \frac{1}{h^2} \frac{d^2\psi}{d\bar{z}^2} = \bar{\psi}'' . \end{aligned}$$

Обозначим также

$$\bar{C}_k = C_k/G, \quad k = 1, 2, 3.$$

В итоге получим следующее дифференциальное уравнение:

$$\begin{aligned} \bar{\psi}'' = \frac{\frac{4h^2}{R^2} \left\{ \psi \left(\bar{C}_1 - 3\bar{C}_2 - \frac{3}{4}\bar{C}_3 \right) - \frac{1}{\psi^5} \left(\bar{C}_1 - 3\bar{C}_2 - \frac{1}{2}\bar{C}_3 \right) + 2\psi^3 \left(\bar{C}_2 + \frac{1}{4}\bar{C}_3 \right) - \bar{C}_2 \frac{1}{\psi^9} \right\}}{\bar{C}_1 - 3\bar{C}_2 - \frac{1}{2}\bar{C}_3 + 2\psi^2 \left(\bar{C}_2 + \frac{1}{4}\bar{C}_3 \right) + \bar{C}_2 \frac{1}{\psi^4} + \frac{2R^2}{h^2} \bar{C}_2 \bar{\psi}'^2} - \\ - \frac{2\bar{\psi}'^2 \left\{ \psi \left(\bar{C}_2 + \frac{1}{4}\bar{C}_3 \right) - \bar{C}_2 \frac{1}{\psi^5} \right\} + \frac{4P}{\pi R^4 G \psi^3}}{\bar{C}_1 - 3\bar{C}_2 - \frac{1}{2}\bar{C}_3 + 2\psi^2 \left(\bar{C}_2 + \frac{1}{4}\bar{C}_3 \right) + \bar{C}_2 \frac{1}{\psi^4} + \frac{2R^2}{h^2} \bar{C}_2 \bar{\psi}'^2}. \end{aligned} \quad (33)$$

Далее осадка сейсмоизолятора определяется по формуле

$$\Delta = - \int_0^h \frac{\partial u_z}{\partial z} dz = - \int_0^h \left(\frac{1}{\psi^2} - 1 \right) dz. \quad (34)$$

Примеры расчета. 1. Авторы [3] выполнили расчет по формуле (11) для таких данных: вычислить нагрузку, создающую осадку $\Delta = 2$ мм при действии на цилиндриче-

ский амортизатор с диаметром $d = 40$ мм, высотой $h = 5$ мм и модулем упругости $G = 8$ кгс/см².

В этом случае имеем

$$\lambda = 1 - \frac{\Delta}{h} = 1 - \frac{2 \cdot 10^{-3}}{5 \cdot 10^{-3}} = 0,6.$$

По рис. 351 [5] определяем, что $\beta = 9$. Тогда по формуле (11)

$$P = \beta GF \left(\frac{1}{\lambda^2} - \lambda \right) = 9 \cdot 8 \cdot 9,81 \cdot 10^4 \cdot \frac{3,14 \cdot (40 \cdot 10^{-3})^2}{4} \left(\frac{1}{0,6^2} - 0,6 \right) \approx 19319,9 \text{ Н} \approx 1932 \text{ кгс.}$$

Для расчета по формуле (25), по рис. 2 определяем, что $\varphi \left(\frac{\Delta}{h} \right) = 2,4$. Тогда

$$P = GF \left[\frac{1}{\lambda^2} - \lambda + \frac{R^2}{h^2} \varphi \left(\frac{\Delta}{h} \right) \right] = 8 \cdot 9,81 \cdot 10^4 \cdot 3,14 \cdot (20 \cdot 10^{-3})^2 \left[\frac{1}{0,6^2} - 0,6 + \frac{(20 \cdot 10^{-3})^2}{(5 \cdot 10^{-3})^2} \cdot 2,4 \right] \approx$$

$$\approx 40000,1 \text{ Н} \approx 4000 \text{ кгс.}$$

2. Вычислим нагрузку, при которой осадка цилиндрического сейсмоизолятора диаметром $d = 200$ мм, высотой $h = 40$ мм и модулем упругости $G = 6,3$ кгс/см² равна $\Delta = 2$ мм.

Проверим формулу (11) с коэффициентом ужесточения β , определяемым по формуле (9). В рассматриваемом случае

$$\beta = 1 + 1,03 \left(\frac{R}{h} \right)^2 = 1 + 1,03 \cdot \left(\frac{100 \cdot 10^{-3}}{40 \cdot 10^{-3}} \right)^2 \approx 7,43;$$

$$\lambda = 1 - \frac{\Delta}{h} = 1 - \frac{2 \cdot 10^{-3}}{40 \cdot 10^{-3}} = 0,95.$$

Подставляя полученные значения в формулу (11), имеем

$$P = \beta GF \left(\frac{1}{\lambda^2} - \lambda \right) = 7,43 \cdot 6,3 \cdot 9,81 \cdot 10^4 \cdot 3,14 \cdot (100 \cdot 10^{-3})^2 \left(\frac{1}{0,95^2} - 0,95 \right) \approx 22786,4 \text{ Н} \approx$$

$$\approx 2278,6 \text{ кгс.}$$

Относительная ошибка по сравнению с экспериментальной величиной нагрузки, приведенной в [6], равна

$$\delta = \frac{|21000 - 22786,4|}{21000} \cdot 100\% \approx 8,5\%.$$

Так как амортизатор низкий ($h/R = 0,4 < 4$), то для вычисления осадки можно воспользоваться формулой (23). Учитывая, что

$$\chi \frac{h^2}{R^2} = \varphi,$$

при помощи несложных преобразований из этой формулы можно получить

$$\varphi = \frac{(A-1)^2 (A+1)^2}{16A^2},$$

где $A = e^{\frac{2(h-\Delta)\sqrt{\lambda}}{R}}$.

В данном случае имеем

$$\lambda = 1 - \frac{\Delta}{h} = 1 - \frac{2 \cdot 10^{-3}}{40 \cdot 10^{-3}} = 0,95.$$

Тогда

$$A = e^{\frac{2(h-\Delta)\sqrt{\lambda}}{R}} = e^{\frac{2(40 \cdot 10^{-3} - 2 \cdot 10^{-3})\sqrt{0,95}}{100 \cdot 10^{-3}}} \approx 2,1;$$

$$\varphi = \frac{(A-1)^2 (A+1)^2}{16A^2} = \frac{(2,1-1)^2 (2,1+1)^2}{16 \cdot 2,1^2} \approx 0,16.$$

Искомую нагрузку рассчитываем по формуле (25):

$$P = GF \left[\frac{1}{\lambda^2} - \lambda + \frac{R^2}{h^2} \varphi \left(\frac{\Delta}{h} \right) \right] = 6,3 \cdot 9,81 \cdot 10^4 \cdot 3,14 \cdot (100 \cdot 10^{-3})^2 \cdot \left[\frac{1}{0,95^2} - 0,95 + \frac{(100 \cdot 10^{-3})^2}{(40 \cdot 10^{-3})^2} \cdot 0,16 \right] \approx 22511,2 \text{ Н} \approx 2251,1 \text{ кгс}.$$

Относительная ошибка представленного расчета составляет

$$\delta = \frac{|21000 - 22511,2|}{21000} \cdot 100\% \approx 7,2\%.$$

3. Найдем осадку для сейсмоизолятора диаметром $d = 400$ мм, высотой $h = 240$ мм и модулем упругости $G = 6,3$ кгс/см² от действия нагрузки $P = 50$ кН. Для этого требуется решить задачу Коши для уравнения (31) с граничными условиями (32).

Эта задача была решена численно методом Рунге-Кутты четвертого порядка точности. Константы материала были выбраны таким образом, чтобы достаточно точно описать эксперименты, приведенные в [7]:

$$C_1 = G, C_2 = 1,5G, C_3 = 1,25G.$$

Полученное численное решение показано на рис. 4.

Далее радиальное перемещение в каждой точке сейсмоизолятора определяется по формуле

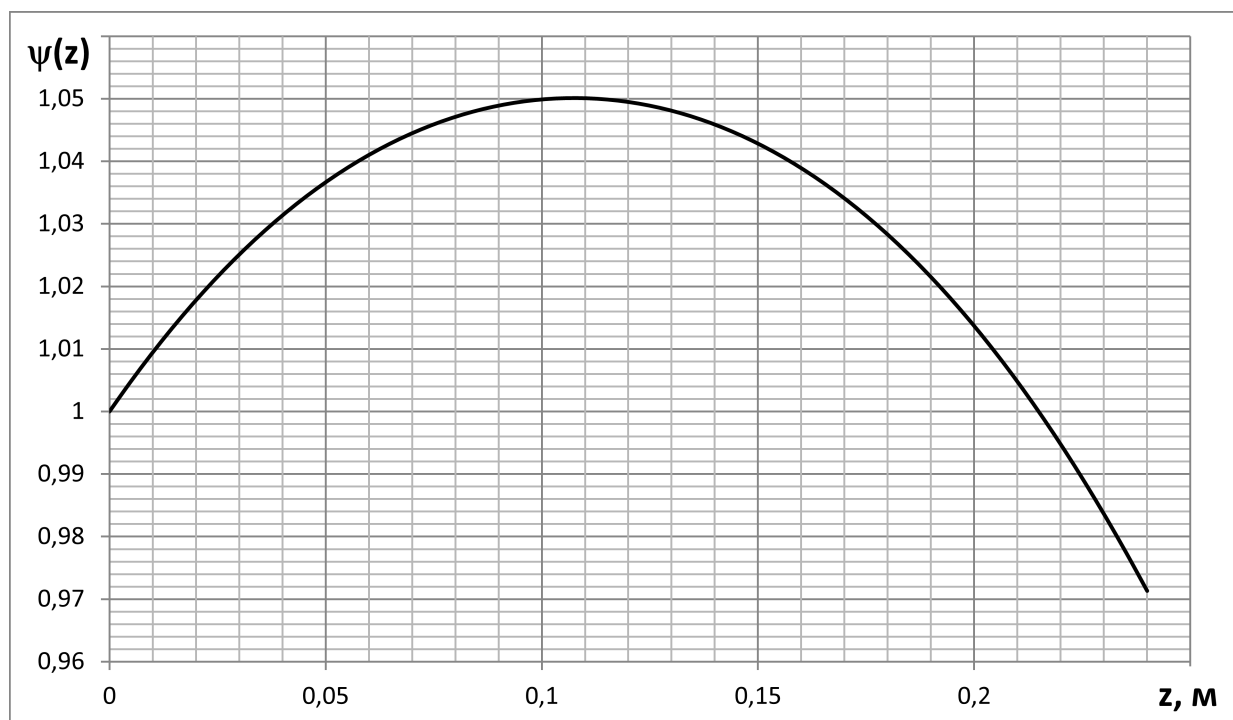


Рис. 4 – Зависимость функции ψ от координаты z

$$u_r = r[\psi(z) - 1],$$

а осевое – по формуле

$$u_z = \int_0^z \left[\frac{1}{(\psi(x))^2} - 1 \right] dx.$$

Для вычисления последнего интеграла использовался метод Гаусса. В результате расчетов получено значение осадки сейсмоизолятора $\Delta = 1,27$ см, что хорошо совпадает с экспериментом.

СПИСОК ЛИТЕРАТУРЫ

1. Лавендел Э.Э. Расчет резинотехнических изделий. – М.: Машиностроение, 1976. – 232 с.
2. Дымников С.И. Расчет резино-технических деталей при средних деформациях // Механика полимеров. – 1968. – № 2. – С. 271-275.
3. Сухова Н.А., Бидерман В.Л. К расчету резиновых амортизаторов, работающих на сжатие // Расчеты на прочность. – 1962. – № 8. – С. 200-211.
4. Бидерман В.Л., Сухова Н.А. Расчет цилиндрических и прямоугольных длинных резиновых амортизаторов сжатия // Расчеты на прочность. – 1968. – № 13. – С. 55-72.
5. Расчеты на прочность в машиностроении / Под ред. Пономарева С.Д. – Машгиз, 1958. – Т. 2.
6. Некоторые особенности расчета резинометаллических элементов с учетом эффекта объемного сжатия / Дырда В.И., Твердохлеб Т.Е., Лисица Н.И. и др. // Геотехническая механика: Межвед. сб. научн. тр. – 2005. – Вып. 60. – С. 152-158.
7. Обосновать параметры, разработать конструкцию, изготовить и испытать в лабораторных условиях виброзащитные опоры для сейсмозащиты многоэтажного дома (г. Ялта): Информационный отчет о НИР ИГТМ НАН Украины; рук. Дырда В.И., исполн. Лисица Н.И. [и др.]. – Днепропетровск, 2008. – 44 с. – инв. № 6875.